

ЛИТЕРАТУРА

1. Зельдович Я. Б., Райзер Ю. П. Физика ударных волн и высокотемпературных гидродинамических явлений. М., «Наука», 1966.
2. Carroll M. M., Holt A. C. Steady waves in ductile porous solids.—*J. Appl. Phys.*, 1973, vol. 44, N 10.
3. Holt A. C., Carroll M. M., Butcher V. M. Application of a new theory for the pressure-induced collapse of pores in ductile materials.— In: Proc. of Int. Symp. «Pore Structure and Properties of Materials», Vol. 5. Prague, Academia, 1974.
4. Butcher V. M., Carroll M. M., Holt A. C. Shock wave compaction of porous aluminum.— *J. Appl. Phys.*, 1974, vol. 45, N 9.
5. Беллинский И. В., Христофоров Б. Д. Вязкость NaCl при ударном сжатии.— ПМТФ, 1968, № 1.
6. Ляхов Г. М. Основы динамики взрывных волн в грунтах и горных породах. М., «Недра», 1974.
7. Григорян С. С., Ляхов Г. М., Паршуков П. А. Сферические взрывные волны в грунтах по измерениям напряжений и деформаций.— ПМТФ, 1977, № 1.
8. Ляхов Г. М., Охитин В. И. Плоские волны в нелинейных вязких многокомпонентных средах.— ПМТФ, 1977, № 2.
9. Carroll M. M., Holt A. C. Static and dynamic pore-collapse relation for ductile porous materials.— *J. Appl. Phys.*, 1972, vol. 43, N 4.
10. Грин Р. Дж. Теория пластичности пористых тел.— Сб. пер. Механика, 1973, № 4.
11. Кошелев Э. А. О развитии камуфлетной полости при взрыве в мягком грунте.— ПМТФ, 1975, № 2.
12. Bhatt J. J., Carroll M. M., Schatz J. F. A spherical model calculation for volumetric response of porous rocks.— «*Trans. ASME*», 1975, E42, N 2.
13. Дунин С. З., Сироткин В. К., Сурков В. В. О распространении пластических волн в пористых средах.— *Изв. АН СССР. МТТ*, 1978, № 3.

УДК 539.374

ЧИСЛЕННОЕ МОДЕЛИРОВАНИЕ ВОЛН СЖАТИЯ И РАЗРЕЖЕНИЯ В МЕТАЛЛАХ

В. М. Фомин, Э. М. Хакимов

(Новосибирск)

Рассматриваются различные возможности математического описания поведения среды при динамическом деформировании как упругопластических [1—7], так и нелинейных вязкоупругопластических моделей, учитывающих микроструктурные механизмы пластичности [8—11].

1. Основные уравнения и соотношения, определяющие процесс. Среда, по которой распространяются волны сжатия и разрежения, принимается изотропной. Состояние этой среды характеризуется распределением тензоров деформаций ϵ_i и напряжения σ_i , вектором скорости u и внутренней энергией E . Здесь $i = 1, 2, 3$ есть главные оси тензоров напряжения и деформаций. Тензор приращения деформации представим в виде суммы $\dot{\epsilon}_i = \dot{\epsilon}_i^e + \dot{\epsilon}_i^p$, где $\epsilon_i^e, \epsilon_i^p$ — упругие и пластические тензоры деформаций соответственно. Упругое деформирование характеризуется зависимостью $\dot{\sigma}_i = \lambda \dot{\delta} + 2\mu \dot{\epsilon}_i^e$ ($i = 1, 2, 3$), где $\dot{\delta} = \sum_{i=1}^3 \dot{\epsilon}_i$; λ и μ — параметры Ламэ и пластические составляющие удовлетворяют условию $\sum_{i=1}^3 \dot{\epsilon}_i^p = 0$. Точка означает производную по времени вдоль траектории элемента среды.

Соотношения для приращения гидростатического давления, максимального значения касательных напряжений и главного значения тензора пластической деформации имеют вид

$$\dot{p} = \frac{\dot{\sigma}_1 + 2\dot{\sigma}_2}{3}, \quad \dot{\tau} = \frac{\dot{\sigma}_1 - \dot{\sigma}_2}{2}, \quad \dot{\varepsilon}^p = \frac{\dot{\varepsilon}_1^p - \dot{\varepsilon}_2^p}{2} = \frac{3}{4} \dot{\varepsilon}_1^p.$$

Выделяя одноосное напряженное состояние, где

$$\dot{\sigma}_2 = \dot{\sigma}_3 = 0, \quad \dot{\sigma}_1 \neq 0, \quad \dot{\varepsilon}_1 \neq 0, \quad \dot{\varepsilon}_2 = \dot{\varepsilon}_3 \neq 0,$$

находим

$$\dot{\varepsilon}_2^e = -\frac{\lambda}{2(\lambda + \mu)} \dot{\varepsilon}_1^e, \quad \dot{\sigma}_1 = E_0 \left(\dot{\varepsilon}_1 - \frac{4}{3} \dot{\varepsilon}^p \right), \quad E_0 = \frac{\mu(3\lambda + 2\mu)}{\lambda + \mu},$$

$$\dot{\tau} = \dot{\sigma}_2/2, \quad P = \dot{\sigma}_1/3.$$

Аналогично для одноосного деформированного состояния

$$\dot{\varepsilon}_2 = \dot{\varepsilon}_3 = 0, \quad \dot{\varepsilon}_1 \neq 0, \quad \dot{\sigma}_1 \neq 0, \quad \dot{\sigma}_2 = \dot{\sigma}_3 \neq 0$$

получим

$$\dot{\sigma}_1 = (\lambda + 2\mu)\dot{\varepsilon}_1 - (8/3)\mu\dot{\varepsilon}^p, \quad \dot{\sigma}_2 = \lambda\dot{\varepsilon}_1 + (4/3)\mu\dot{\varepsilon}^p,$$

$$(1.1) \quad \dot{\tau} = \mu(\dot{\varepsilon}_1 - 2\dot{\varepsilon}^p), \quad \dot{p} = K\dot{\varepsilon}_1, \quad K = (3\lambda + 2\mu)/3.$$

В процессе движения сплошной среды должны выполняться законы сохранения массы, количества движения и энергии, которые в координатах Лагранжа (h) имеют вид

$$(1.2) \quad \partial \varepsilon_1 / \partial t = -\partial u / \partial h, \quad \rho_0 \partial u / \partial t = -\partial \sigma_1 / \partial h, \quad \rho_0 \partial E / \partial t = \sigma_1 \partial \varepsilon_1 / \partial t,$$

где t — время; ρ_0 — начальная плотность среды. Деформация и напряжения определены положительными для сжатого состояния. В зависимости от рассматриваемой задачи необходимо выбирать соответствующее одноосное состояние.

Система уравнений (1.2), описывающая процессы распространения и взаимодействия волн сжатия и разрежения, не замкнута. Так как в дальнейшем будем изучать распространение сильных ударных волн в металлах, то, следуя работам [12, 13], калорическое уравнение состояния представим в аддитивной форме [14]

$$(1.3) \quad p = p_x + p_R + p_e, \quad E = E_x + E_R + E_e,$$

где

$$p_x = \frac{k}{\gamma} [(\rho/\rho_0)^\gamma - 1]; \quad E_x = \int_{\rho_0}^{\rho} p_x(\rho) d(1/\rho);$$

$$p_R = \Gamma_R E_R \rho; \quad E_R = c_V(T - T_0) + E_0;$$

$$p_e = \Gamma_e E_e \rho; \quad E_e = \frac{1}{2} \beta_0 (\rho_0/\rho)^{\Gamma_e} T^2.$$

Здесь Γ_R — параметр Грюнайзена, который в общем случае может зависеть от $\nu = 1/\rho$; Γ_e — коэффициент, определяющий отношение теплового давления электронов и плотности их тепловой энергии; c_V — удельная

теплоемкость; k , γ , E_0 , β_0 — постоянные величины, характеризующие свойства конкретной среды.

Для оценки влияния составляющих, входящих в (1.3), были проведены расчеты соотношений на ударной волне для алюминия, меди, железа и свинца. Начальное состояние соответствует $p = 0$, $T = 293$ К, $\rho/\rho_0 = 0.987$. Коэффициент Грюнайзена в данном случае вычисляется по формуле [12] при $E_0 = 0,161$ Дж/г, $k = 764$ кбар, $\gamma = 4,1$, $\beta_0 = 0,5$, $G_e = 0,5$, $p = 1$ ат, $T = 27^\circ\text{C}$.

Анализ результатов расчетов позволяет сделать вывод, что при скоростях нагружения $u_0 \leq 4$ км/с вкладом тепловых составляющих в p и E можно пренебречь, что нельзя делать при более высоких скоростях взаимодействия.

Замыкает математическую модель среды уравнение пластического течения, которое определяет зависимость скорости пластического течения $\dot{\epsilon}^p$ от остальных характеристик среды (в частности, сдвигового напряжения τ , температуры T и т. д.).

Так, для одноосного деформированного состояния могут быть предложены следующие модели:

гидродинамическая ($\tau = 0$)

$$\dot{\epsilon}^p = (1/2)\dot{\epsilon}_1;$$

упругая

$$\dot{\epsilon}^p = 0;$$

упругопластическая

$$\begin{aligned} \dot{\epsilon}^p &= (1/2)(\dot{\epsilon} - \dot{Y}/\mu) \text{ для } \tau \geq Y, \\ \dot{\epsilon}^p &= 0 \text{ для } \tau < Y, \end{aligned}$$

где Y — предел текучести среды — может быть функцией от ρ , p , T , ϵ^p и других параметров среды. Так, для $Y = Y_0 = \text{const}$ имеем модель идеальной пластичности

$$\tau = \begin{cases} \mu(\epsilon - 2\epsilon^p), & \tau < Y_0, \\ Y_0, & \tau \geq Y_0; \end{cases}$$

дислокационная модель

$$\dot{\epsilon}^p = bN_d v_d,$$

где b — вектор Бюргера; $N_d = \varphi(\epsilon^p)$ — плотность подвижных дислокаций; $v_d = \Phi(\tau, p, E)$ — скорость перемещения дислокаций. Конкретный вид функциональных зависимостей φ , Φ и Y будет фиксирован ниже.

2. Математическая постановка задачи о соударении двух пластин. Метод решения. Задача о соударении пластин является той модельной задачей, решение которой позволяет получить информацию о динамической сжимаемости материала и взаимодействии ударных волн с волнами разгрузки. С другой стороны, процессы, возникающие при соударении двух пластин, легко реализуемы в экспериментах.

Пластина толщины l со скоростью u_0 ударяется о поверхность другой пластины толщиной $L \gg l$, удар по нормали. Длины пластин выбираем много больше толщин, что позволяет изучать физический процесс в одномерном приближении. В общем случае материалы пластин различны.

Таким образом, данная задача математически формулируется следующим образом: найти функции $u, \sigma_1, \varepsilon_1, \varepsilon^p, \sigma_2, \tau, p, E, T \in C^1(D_z)$, удовлетворяющие в $D_z = \{-l \leq h \leq L, 0 \leq t < \infty\}$ системе дифференциальных уравнений (1.1)–(1.3) и одной из зависимостей $\varepsilon^p(\tau, p, E)$ с начальными

$$u = \begin{cases} u_0 > 0, & -l \leq h < 0, \\ 0, & 0 \leq h \leq L \end{cases}$$

и граничными условиями

$$\sigma_1(t, -l) = 0, \sigma_1(t, L) = 0, t > 0.$$

Поставленная задача только для очень частных видов уравнений состояния решена аналитически, а наиболее практически интересный случай рассмотрен в работе [15]. Здесь получено решение задачи в приближении малости девиаторной компоненты напряжений по сравнению со скачком напряжения на фронте ударной волны. Аналитическое рассмотрение процесса в общем случае затруднительно. Поэтому представляет интерес численное решение задачи без ограничения на математическую модель среды и параметры соударения. Такой численный расчет проведен по разностной схеме сквозного счета типа Уилкинса. Искусственная вязкость выбрана в виде

$$q = \left(q_1 \rho_0 c_0 + q_2 \rho_0 \left| \frac{\partial u}{\partial h} \right| \right) \frac{\partial u}{\partial h}, \quad q_1 = q_1^0 \Delta h, \quad q_2 = \frac{q_2^0}{\tau} (\Delta h)^2,$$

где Δh — шаг лагранжевой сетки; $q_1^0 = 0,2$; $q_2^0 = 5,0$.

Значения коэффициентов q_1^0 и q_2^0 выбирались из условия размазывания ударных фронтов на 3–4 расчетные ячейки при отсутствии счетных осцилляций за фронтом волны. Процесс распространения и взаимодействия ударных волн разгрузки, как показали результаты расчетов, зависит не только количественно, но и качественно от выбранной математической модели. Это связано в первую очередь со сложной структурой волн.

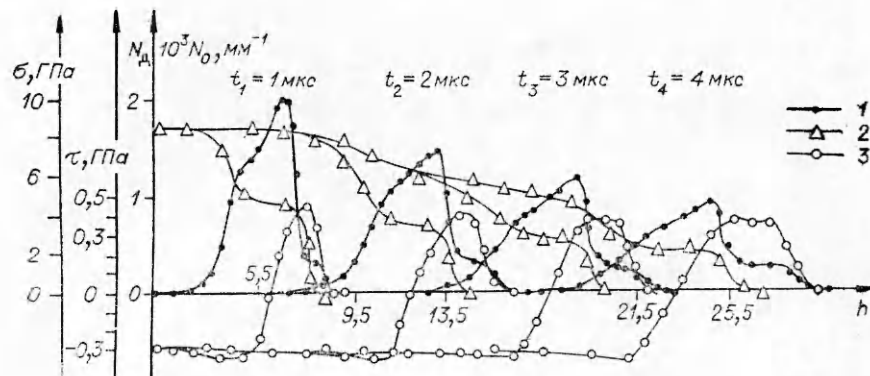
Проведенные расчеты данной задачи в упругопластическом приближении по вышеописанному алгоритму при $\nu = \text{const}$ (коэффициент Пуассона), $K = p(\rho, T)/\varepsilon_1$, $Y = Y(p)$ и $Y = Y(\varepsilon^p)$ для алюминия качественно полностью совпадают по волновым картинам явлений с результатами работ [6, 7, 15]. Скорости соударения варьировались в диапазоне от 0,1 до 5 км/с.

3. Результаты расчетов. Остановимся более подробно на результатах, полученных при описании среды по дислокационной модели. Конкретные зависимости $\varphi(\varepsilon^p)$ и $\Phi(\tau, p, E)$ взяты в виде

$$(3.1) \quad \frac{dN_d}{dt} = M |\dot{\varepsilon}^p|, \quad N_d|_{t=0} = N_c,$$

$$v_d = \begin{cases} c_1 \exp\left(-\frac{\tau_1}{|\tau| - \tau^*}\right), & |\tau| > \tau^*, \\ 0, & |\tau| \leq \tau^*, \end{cases}$$

где M — коэффициент размножения дислокаций (постоянная); c_1 — сдвиговая скорость звука; τ_1 — коэффициент скольжения; τ^* — величина порогового значения сдвигового напряжения, ниже которого все дислокации в среде неподвижны. Обобщение формул (3.1) по сравнению с известными



Фиг. 1

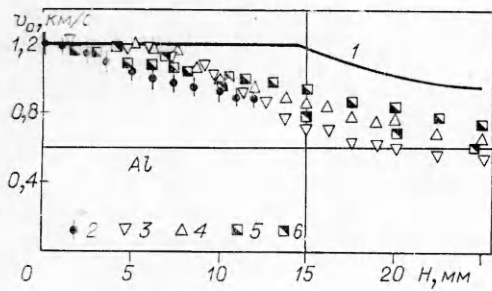
[8—10] состоит в том, что они будут справедливы не только для нагрузки, но и для разгрузки. При этом следует заметить, что плотность дислокаций будет увеличиваться не только на волне сжатия, но и на волне разрежения.

На фиг. 1 приведены профили напряжения $\sigma_1 = \sigma_1(h)$ в различные моменты времени (кривая 1) при $u_0 = 1,2 \text{ км/с}$, $l = 1,5 \text{ мм}$ и параметрах материала: $b = 2,86 \cdot 10^8 \text{ см}$, $N_0 = 3,75 \cdot 10^6 \text{ см}^2$, $M = 7,8 \cdot 10^{10} \text{ см}^2$, $c_1 = 3,2 \text{ км/с}$, $\tau^* = 2,5 \text{ кбар}$, $\tau_1 = 5 \text{ кбар}$, $\rho_0 = 2,787 \text{ г/см}^3$. В начальный момент времени от границы контакта $h = 0$ в разные стороны распространяются ударные волны двухволновой структуры, передние фронты которых перемещаются со скоростью упругих волн, а за ним с меньшей скоростью распространяются пластические волны сжатия, переводящие параметры среды в конечное состояние, соответствующее скорости соударения. Амплитуда и скорость пластической волны существенно зависят от скорости соударения. Вследствие эффекта задержки текучести переход в пластическое состояние среды осложняется тем, что напряжение за упругим предвестником превышает Y_0 и изменяется во времени.

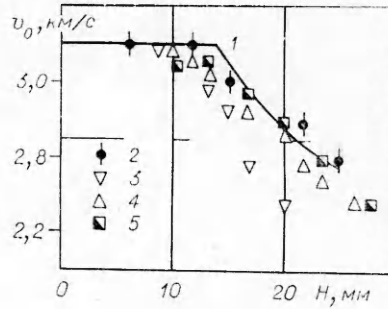
От свободной поверхности ударника ($h = -l$) волны сжатия отражаются соответственно упругой и пластической волнами разгрузки. Так как упругая волна разгрузки распространяется по предварительно нагруженному материалу, то через некоторый промежуток времени она догонит фронт пластической волны сжатия. В результате их взаимодействия амплитуда пластической волны сжатия уменьшится, а упругая волна разгрузки отразится от пластического фронта в виде упругой волны сжатия, которая будет перемещаться от точки взаимодействия в сторону пластической волны разгрузки. В дальнейшем эта упругая волна взаимодействует с пластической волной разгрузки. В результате этого распада разрыва возникает отраженная волна разгрузки, которая вновь догоняет пластическую волну нагрузки и уменьшает ее интенсивность. В последующие моменты времени весь процесс повторяется аналогично вышеописанному.

В дислокационной модели пластического деформирования вследствие задержки текучести интенсивность волны упругой разгрузки будет больше, чем интенсивность упругой волны разгрузки, вычисленной в упруго-пластическом приближении. Это приводит к более быстрому затуханию фронта пластической волны разгрузки.

Важное значение имеют простейшие экспериментальные исследования, позволяющие не только понять качественную картину явления, но и в результате сравнения с данными численных экспериментов выявить влияние определяющих параметров математических моделей. Для этой



Ф и г. 2

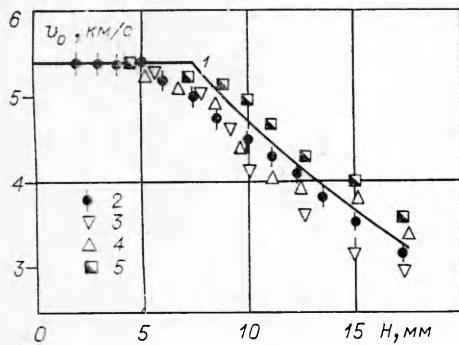


Ф и г. 3

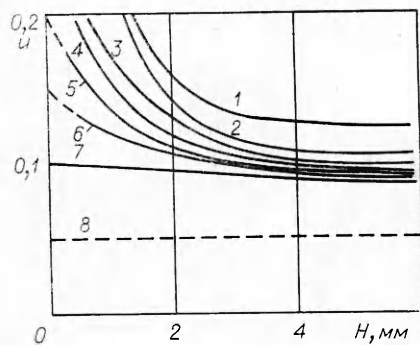
цели были проведены серии расчетов поставленной задачи по четырем математическим моделям. Результаты по затуханию максимума скорости свободной поверхности преграды в зависимости от ее толщины приведены на фиг. 2—4. Во всех рассмотренных математических моделях в формулах (1.3) пренебрегалось вкладом электронных составляющих p_e и E_e по сравнению с p_x , p_R и E_x , E_R . Материалом преграды и ударника выбирался алюминий, хотя общая качественная картина имеет место для меди и железа. В модели идеальной пластичности считается $v = \lambda/2(\lambda + \mu) = \text{const}$, $K = (3\lambda + 2\mu)/3 = p(\rho, T)/\epsilon_1$, $Y = Y_0 = \text{const}$, а в упругопластической модели с упрочнением принимается $Y = Y_0 + \alpha_1 p - \alpha_2 p^2$, где α_1 и α_2 — постоянные. Численные значения констант моделей материала ударника и преграды приведены в таблице.

По гидродинамической теории (кривая 1, фиг. 2—4) процесс затухания имеет монотонный характер и начинается позднее. Это связано с тем, что диссипация энергии в этом случае меньше, чем в остальных (точки 2 — результаты экспериментов из работ [16—18]). Наибольшее количественное расхождение имеет место в диапазоне относительно малых скоростей удара, т. е. в том диапазоне скоростей нагружения, где эффекты, возникающие от наличия сдвиговых напряжений, наиболее существенны. Так, уже при $u_0 = 5,4$ км/с все математические модели дают результаты близкие, т. е. в пределах погрешности эксперимента.

Сравнение экспериментальных данных [16—18] с результатами расчетов показывает, что начало затухания существенно определяется скоростью движения фронтов упругой разгрузки и пластической нагрузки,



Ф и г. 4



Ф и г. 5

Номер фигу- ры	Параметры удар- ника		гидродинамическая					упругопластическая					дислокационная				
	u_0 , км/с	l , мм	ρ_0 , г/см ³	K , кбар	γ	E_0 , $\frac{\text{Дж}}{\text{г} \cdot \text{град}}$	c_{ν} , $\frac{\text{Дж}}{\text{г} \cdot \text{град}}$	I_R	ν	Y_0 , кбар	α_1	α_2 , 1/кбар	b , см	N_0 , см ⁻²	M , см ⁻²	τ_1 , кбар	τ^* , кбар
2	1,2	1,5	2,787	764	4,1	461	0,896	2,088	0,33	2,5	0,056	0,002	$2,86 \cdot 10^{-8}$	$3,75 \cdot 10^6$	$7,80 \cdot 10^{10}$	15,0	2,5
3	3,2	3,0															
4	5,4	2,0															

а величина затухания зависит от амплитуды волны упругой разгрузки. Введение дополнительных параметров α_1 и α_2 упругопластической модели с упрочнением (точки 3, фиг. 2—4) позволяет учесть зависимость механических свойств среды от давления.

Поэтому картина затухания ударной волны при взаимодействии его с волной разгрузки находится в лучшем соответствии с экспериментальными результатами, чем расчеты по гидродинамической модели или по модели идеальной пластичности (точки 4, фиг. 2—4). Из данных фиг. 2—4 видно, что процесс затухания в рассмотренном диапазоне скоростей соударения лучше описывается по моделям, учитывающим физическую теорию пластичности, т. е. дислокационным, выраженным формулами (3.1) (точки 5).

Необходимо отметить, что общепринятая дислокационная модель не является полной с физической точки зрения. Скольжение дислокаций с определенной скоростью v_d приводит не только к пластическому течению в рассматриваемой точке, но и к перемещению дислокации. В результате переход среды из упругого состояния в пластическое может осуществляться не только за счет размножения дислокации, но и вследствие наличия потока дислокации (диффузии пластичности). Для математического описания кинетики дислокации необходимо учитывать распределение их по скоростям скольжения и векторам Бюргерса. В простейшем случае плотность дислокации можно представить в виде суммы плотностей положительных и отрицательных дислокаций, имеющих одинаковые, но противоположно направленные скорости $N_d = N_+ + N_-$. Предположим, что размножение дислокации разного знака происходит одинаково и скольжение их имеет место только в плоскости максимального касательного напряжения. Это дает следующие кинетические уравнения:

$$\frac{dN_+}{dt} + \frac{1}{\sqrt{2}} \frac{\partial}{\partial h} (N_+ v_d) = \frac{M}{2} \left| \frac{d\epsilon^p}{dt} \right|,$$

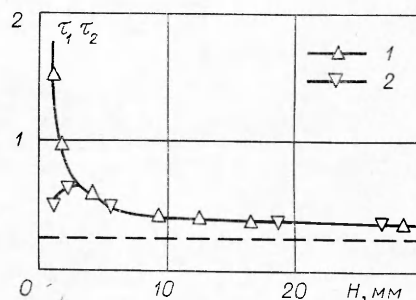
$$\frac{dN_-}{dt} - \frac{1}{\sqrt{2}} \frac{\partial}{\partial h} (N_- v_d) = \frac{M}{2} \left| \frac{d\epsilon^p}{dt} \right|,$$

$$\frac{dv_d}{dt} = b (N_+ + N_-) v_d,$$

$$v_d = \begin{cases} c_1 \exp(-\tau_1 / (|\tau| - \tau^*)), & |\tau| > \tau^*, \\ 0, & |\tau| \leq \tau^*. \end{cases}$$

Расчеты по этой модели с учетом кинетики дислокаций (фиг. 2, точки 6) хорошо соответствуют экспериментальным результатам.

Детальная картина поведения основных параметров в дислокационной модели, описываемой формулами (3.1), приведена на фиг. 4, где распределения $N_d(h)$, $\tau(h)$ обозначены соответственно кривыми 2, 3 на четыре различных момента времени. Видно, что фронт волны плотности подвижных дислокаций имеет двухступенчатую конфигурацию и, как было заложено в теории, растет четко, коррелируя с волной нагрузки и разгрузки. Причем начало увеличения N_d совпадает с максимумом в упругом предвестнике.



Фиг. 6

Для исследования скорости соударения на эффекты запаздывания текучести алюминия была численно решена классическая задача о распространении в среде волны сжатия в следующей постановке: найти функции u , σ_1 , σ_2 , ε_1 , ε^p , τ , p , E , $T \in C^1(D_z)$, удовлетворяющие в $D_z = \{0 \leq h < \infty, 0 \leq t < \infty\}$ системе уравнений (1.1)–(1.3), (3.1) с начальными $u = \sigma_1 = \sigma_2 = \varepsilon_1 = \varepsilon^p = 0 \quad \forall h$ и граничными условиями $u = u_0 > 0$ при $h = 0$, $t \geq 0$.

Решение находится численным методом, аналогичным использованному в предыдущей задаче. Основные параметры среды, которые были приняты в модели, приведены в таблице. На фиг. 5 представлены полученные расчетом кривые затухания массовой скорости за упругим предвестником при его распространении в алюминии для разных скоростей нагружения (1 — $u_0 = 2,0$; 2 — $1,5$; 3 — $1,0$; 4 — $0,5$; 5 — $0,4$; 6 — $0,3$; 7 — $0,2$ км/с). Затухание упругого предвестника в данной модели объясняется взаимодействием упругой волны сжатия с волной разгрузки, возникающей сразу за упругим предвестником за счет релаксации напряжений. В результате этого взаимодействия следует, что через некоторый промежуток времени амплитуда волны упругого предвестника не будет зависеть от скорости u_0 и все параметры выйдут на асимптотики, соответствующие модели идеальной пластичности, т. е.

$$u_0 = \sqrt{\frac{\sigma}{\rho} (\rho/\rho_0 - 1)}, \quad \rho = \rho_0 \left(1 + \frac{4/3 \cdot Y_0}{(\gamma - 1) p_0}\right)^{1/\gamma},$$

$$\sigma = 3 \frac{1 - \gamma}{1 + \gamma} p_0 [(\rho/\rho_0)^\gamma - 1],$$

$\rho_0 = 2,785$ г/см³, $p_0 = 149,8$ кбар, $\gamma = 5,1$, $Y_0 = 2,5$ кбар.

Для каждой точки пространства может быть построена зависимость $\sigma(\varepsilon)$. Такая зависимость неоднозначна и на рассматриваемом интервале изменения параметров будет иметь точки локального максимума и минимума, численные значения которых зависят от скорости нагружения. Соответствующие этим точкам сдвиговые напряжения τ_1 (кривая 1) и τ_2 (кривая 2) в зависимости от расстояния h для $u_0 = 1$ км/с приведены на фиг. 6. Видно, что разница между этими величинами быстро уменьшается и затем τ_1 и τ_2 асимптотически стремятся к величине статического предела текучести, обозначенной на фиг. 6 штриховой линией.

Таким образом, проведенное исследование позволяет сделать вывод о применимости предложенных математических моделей для расчетов упругопластических процессов в широком диапазоне деформирования.

ЛИТЕРАТУРА

1. Fowles G. R. Shock wave compression of hardened and annealed 2024 aluminum.— «J. Appl. Phys.», 1961, vol. 32, N 8.
2. Cm-Hung Mok. Effects of solid strength on the propagation and attenuation of spherical and plane shock waves.— «J. Appl. Phys.», 1968, vol. 36, N 4.
3. Коротких Ю. Г., Николаев О. П. Численное исследование динамических свойств материалов.— В кн.: Методы решения задач упругости и пластичности. Вып. 4. Горький, 1971.
4. Уилкинс М. Л. Расчет упругопластических течений.— В кн.: Вычислительные методы в гидродинамике. М., «Мир», 1967.
5. Богомолов Л. А., Гринднева В. А., Хорев И. Е. О высокоскоростном соударении твердых тел с одинаковыми физическими параметрами.— ПМТФ, 1974, № 3.
6. Симонов И. В. Удар пластинки по упругопластическому полупространству, численное исследование.— «Изв. АН СССР. МТТ», 1974, № 2.
7. Симонов И. В., Чекин Б. С. Высокоскоростное соударение железных пластин.— ФГВ, 1975, № 2.
8. Gilman J. J. Dislocation dynamics and the response of materials to impact.— «Appl. Mech. Rev.», 1968, vol. 21, N 8. Рус. пер.— сб. Механика, 1970, N 2.
9. Kuritama S., Kawata K. Propagation of stress wave with plastic deformation on metal obeying the constitutive equation of the Johnston — Gilman type.— «J. Appl. Phys.», 1973, vol. 44, N 8.
10. Нигматуллин Р. И., Холин Н. Н. К модели упругопластической среды с дислокационной кинетикой пластического деформирования.— «Изв. АН СССР. МТТ», 1974, № 4.
11. Гулидов А. И., Фомин В. М., Яненко Н. Н. Структура волн сжатия в неупругих средах.— «Изв. АН СССР. МТТ», 1975, № 5.
12. Dugdale J. S., Mc Donald D. The thermal expansion of solids.— «Phys. Rev.», 1953, vol. 89, N 4.
13. Зельдович Я. Б., Райзер Ю. П. Физика ударных волн и высокотемпературных гидродинамических явлений. М., «Наука», 1966.
14. Альтшулер Л. В., Корнер С. Б., Баканова А. А., Трунин Р. Ф. Уравнения состояния алюминия, меди и свинца для областей высоких давлений.— ЖЭТФ, 1960, т. 38, № 3.
15. Флитман Л. М. Удар пластинки по упругопластическому полупространству.— «Изв. АН СССР. МТТ», 1974, № 2.
16. Surran D. R. Nonhydrodynamic attenuation of shock waves in aluminum.— «J. Appl. Phys.», 1963, vol. 34, N 9.
17. Erkman J. O., Christensen A. V. Attenuation of shock waves in aluminum.— «J. Appl. Phys.», 1967, vol. 38, N 13.
18. Новиков С. А., Синицына Л. М. О влиянии давления ударного сжатия на величину критического напряжения сдвига в металлах.— ПМТФ, 1970, № 6.

УДК 539.21

К РАСЧЕТУ КОЭФФИЦИЕНТА ГРЮНАЙЗЕНА

*В. В. Поляков, Е. А. Щеголев**(Барнаул, Томск)*

Анализ и интерпретация экспериментальных данных по статическому и ударному сжатию твердых тел и теоретическое описание их поведения под давлением существенным образом связаны с определением коэффициента Грюнайзена. Расчет коэффициента Грюнайзена по уравнениям состояния или ударным адиабатам обычно осуществляется на основе модельных представлений о силах связи в рассматриваемом веществе [1, 2]. В то же время для исследования материалов со сложной внутренней структурой, в том числе сплавов, композиционных материалов, горных пород, желательным является определение коэффициента Грюнайзена, свободное от конкретных предположений о силах связи. В данной работе проведен расчет коэффициента Грюнайзена по данным статического и ударного сжатия, непосредственно не использующий конкретные физические модели.